

# **MultiMandel**

Изследване на грануларността при статично  
циклично разпределение и съпоставка с динамично  
централизирано решение

Изготвил:  
Лъчезар Младенов  
Информационни системи  
3-ти курс, ф.н 71915

Ръководители:  
проф. д-р Васил Георгиев  
ас. Христо Христов

София  
2021

# Съдържание

<b>Съдържание</b>	<b>2</b>
<b>Увод</b>	<b>3</b>
<b>Анализ</b>	<b>4</b>
1.1 Функционален анализ	4
1.1.1 Parallel generation of a Mandelbrot set [1]	4
1.1.2 MPI vs OpenMP: A case study on parallel generation of Mandelbrot set [2]	4
1.1.3 Parallel Fractal Image Generation [3]	5
1.1.4 Efficient Generation of Mandelbrot Set using Message Passing Interface [4]	5
1.1.5 Сравнителна таблица	6
Parallel generation of a Mandelbrot set [1]	6
MPI vs OpenMP: A case study on parallel generation of Mandelbrot set [2]	6
Parallel Fractal Image Generation [3]	7
Efficient Generation of Mandelbrot Set using Message Passing Interface [4]	7
<b>Проектиране</b>	<b>7</b>
2.1 Функционално проектиране	7
2.1.1 Модел на статично паралелно решение	7
2.1.2 Модел на динамично паралелно решение	9
2.1.3 Ръководство на потребителя	9
2.2 Технологично проектиране	10
<b>Тестови резултати</b>	<b>11</b>
3.1 Сравнение на ускорението при статично циклично разпределение при грануларност $g = 1, 4, 16$	12
3.1.1 Брой на итерациите - 10000	12
3.1.2 Брой на итерациите - 20000	15
3.1.3 Съпоставка на получените резултати	18
3.2 Сравняване на ускорението при динамично централизирано разпределение при грануларност $g = 1, 4, 16$	19
<b>Източници</b>	<b>26</b>

## Увод

Настоящия проект - MultiMandel има за цел да разгледа редица въпроси свързани с паралелизма, като за целта е избрана задача, която изобразява множеството на Манделброт. Поради тази причина в текущата глава ще бъде описано какво представлява това множество и как може да се определи дали дадена точка попада в него.

Множеството на Манделброт е кръстено в чест на своя откривател и изследовател математика Беноа Манделброт, като има връзка с множеството на Жюлиа, тъй като и двете образуват сложни фрактални фигури.

Това множество съдържа комплексните числа  $c$  и се дефинира от функцията  $f_c(z) = z^2 + c$ , която не е разходяща при итерация с  $z = 0$ . Казано с други думи редицата  $f_c(0), f_c(f_c(0)), \dots$  остава ограничена по абсолютна стойност. Можем да кажем, че дадено комплексно число  $c$  е елемент на това множеството, когато започвайки с  $z_0 = 0$  и прилагайки повтаряща се итерация, абсолютната стойност на  $z_n$  остава ограничена за всички  $n > 0$ . Самото множество е компактно, тъй като е затворено и ограничено от окръжност с радиус 2 около началото на координатната система  $(0;0)$ .

Изображения на множеството на Манделброт могат да се създадат чрез тестване на комплексни числа дали гореописаната редица за всяка точка  $c$  е разходяща до безкрайност. Нанасянето на реалната и имагинерната част на комплексното число като координати върху комплексната равнина позволява да се оцветят пикселите обикновено в черен цвят, когато точката принадлежи. Оцветяването на останалите точки, не принадлежащи на множеството, се определя от степента, с която получената от тях редица достига определена граница, отвъд която няма елементи на множеството.

Важно е да се спомене и причината защо точно тази задача е избрана за текущите изследвания. Причината е проста и се дължи на факта, че създаването на желаното изображение лесно може да бъде декомпозирано на много на брой малки подзадачи, като не е необходима синхронизация между отделните нишки, които изпълняват съответните подзадачи.

# 1. Анализ

## 1.1 Функционален анализ

В текущата глава ще бъдат кратко описани няколко източника, които представят различни анализи и изследвания при паралелното решаване на същия проблем.

### 1.1.1 Parallel generation of a Mandelbrot set [1]

Авторът е имплементирал два подхода за генериране на множеството на Манделброт - статично циклично и динамично централизирано решение. Също така са описани и различни начини за разделянето на подзадачите.

От представените диаграми лесно може да се забележи, че при статичното разпределение, декомпозицията по редове е много по-ефективна, от тази по колони. Преглеждайки резултатното изображение веднага можем да разберем каква е причината за този резултат - а именно факта, че колоните са по-малко балансирани спрямо редовете. Преглеждайки обаче диаграмата, изобразяваща ускорението при динамичното балансиране, ясно се вижда, че това небалансиране е компенсирано, а това се дължи на разпределението на подзадачите по време на изпълнението.

Интересно сравнение е направено и при разделянето на изображението на най-малката градивна единица - пиксел. При такова разделяне статичното балансиране е доста неефективно за разлика от динамичното, което постига по-задоволителни резултати.

### 1.1.2 MPI vs OpenMP: A case study on parallel generation of Mandelbrot set [2]

В този източник авторът сравнява различни библиотеки като е имплементирал Master-Slave решение, при което главната нишка разделя матрицата от пиксели на  $p$  брой части, където  $p$  е броят на процесорите. Така всяка част се поема от различен процесор, като накрая резултатите се обединяват в едно цяло. Отново има сравнение на статично спрямо динамично балансиране, като този път не се сравнява начина на декомпозицията, а броя на итерациите.

Важно е да се отбележи и използването на алгоритъма наречен "Escape time", чиято идея е да определи дали дадена точка принадлежи на множеството на Манделброт. Послеловадателно се изпълняват итерациите и се проверява, дали абсолютната стойност на  $z = z^2 + c$  не надвишава 2. Част от точките могат да бъдат проверени дали са от множеството за няколко итерации, но за други може да са необходими повече от милион итерации. Както е показано в статията, при по-голям брой итерации се получават и по-точни изображения на множеството. Когато дадена точка не е от това множество, тя се оцветява в зависимост от броя на извършените итерации. Този алгоритъм ще бъде използван и в моето решение.

### 1.1.3 Parallel Fractal Image Generation [3]

Доста подробно са представени и описани стъпките при изграждането на паралелен алгоритъм. В текущата задача отново става въпрос за “escape” алгоритъма и се подчертава важността при избора на броя итерации. Описани са начини за синхронизация при създаването на изходното изображение, тъй като е възможно при отпечатването на изхода да няма правилна последователност при приключването на работата.

Авторът е представил случай, при който се дават отделни блокове на всяка нишка, но в крайна сметка се е спрял върху декомпозиция на редове с цел по-равномерно натоварване на нишките. Разгледан е въпроса за грануларността - в случая едра, и в крайна сметка авторът е избрал първия процес да изчислява редовете: 1, 5, 9 и тн., втория - 2, 6, 10 и тн и аналогично за останалите процеси.

В заключителните резултати става ясно, че се получава ускорение, което е по-добро от линейното, а причината за този резултат се крие в това, че когато дадена нишка свърши работата си, отпечатването става във фонов режим. Това отпечатване само по себе си не блокира главната работа и нишката продължава с “важната” работа, която е новото изчисление.

### 1.1.4 Efficient Generation of Mandelbrot Set using Message Passing Interface [4]

В тази статия е описано ускорението при 3 различни подхода на разделяне на подзадачите като и при трите начина само една (главната) нишка отпечатва резултатите.

**Наивно разделяне** - тук изображението се разделя на блокове с равен брой редове и всяка нишка получава по един блок, който да обработи.

**Динамично разпределяне по редове на принципа “първи дошъл първи обслужен”** - в този случай самото изображение се разделя на множество задачи, като всяка задача е един ред от изображението. Когато някоя “slave” нишка приключи работата си, главната “master” нишка дава следващия необработен ред и така докато изображението не е създадено.

**Статично декомпозиране по редове** - при това разделяне предварително работата е разпределена върху нишките и по този начин се гарантира, че всяка нишка ще получи равен брой задачи за изпълнение, а остатъкът се дава на главната нишка за обработка.

От получените резултати и тяхното графично представяне, ясно може да се направи извода, че при повече от две нишки последните два начина за разделяне на задачи, дават най-добро ускорение, за разлика от наивния подход, който е най-добър при 2 нишки.

### 1.1.5 Сравнителна таблица

Образец	Декомпозиция	Тип балансиране	Грануларност	Брой итерации	Размер на изображение
[1]	редове, колони, пиксели и блокове	статично циклично и динамично централизирано	едра и средна	10000	100x100 до 12800x12800
[2]	блокове от редове	статично циклично и динамично	едра	100, 1000, 10000, 100000	1024x1024
[3]	редове, блокове от редове	статично циклично	едра и финна	5000, 50000, 500000	160x120
[4]	редове, блокове от редове	статично циклично и динамично	едра и финна	2000	8000x8000
<b>MultiMandel</b>	редове	статично циклично, динамично централизирано	едра и средна	10000, 20000	3840x2160

## 1.2 Технологичен анализ

След като вече бяха съпоставени различните източници на ниво функционалност и използван подход, следва да представим и тестовите среди, използвани за провеждане на опитите.

### Parallel generation of a Mandelbrot set [1]

В този източник не е написан конкретния модел процесор, единствената информация е за двете използвани платформи - клъстер от 11 двуюдрени 32 битови процесора Intel и клъстер от 13 четириядрени 64 битов процесор Intel.

### MPI vs OpenMP: A case study on parallel generation of Mandelbrot set [2]

AMD Ryzen™ 5 2500U Quad-Core

Level 1 icache	256 KiB
Level 1 dcache	128 KiB
Level 2 cache	2 MiB
Level 3 cache	4 MiB
Cores	4

## Parallel Fractal Image Generation [3]

Няма информация

## Efficient Generation of Mandelbrot Set using Message Passing Interface [4]

Intel Xeon Gold 6150

Level 1 icache	576 KiB
Level 1 dcache	576 KiB
Level 2 cache	16 MiB
Level 3 cache	24.75 MiB
Cores	18

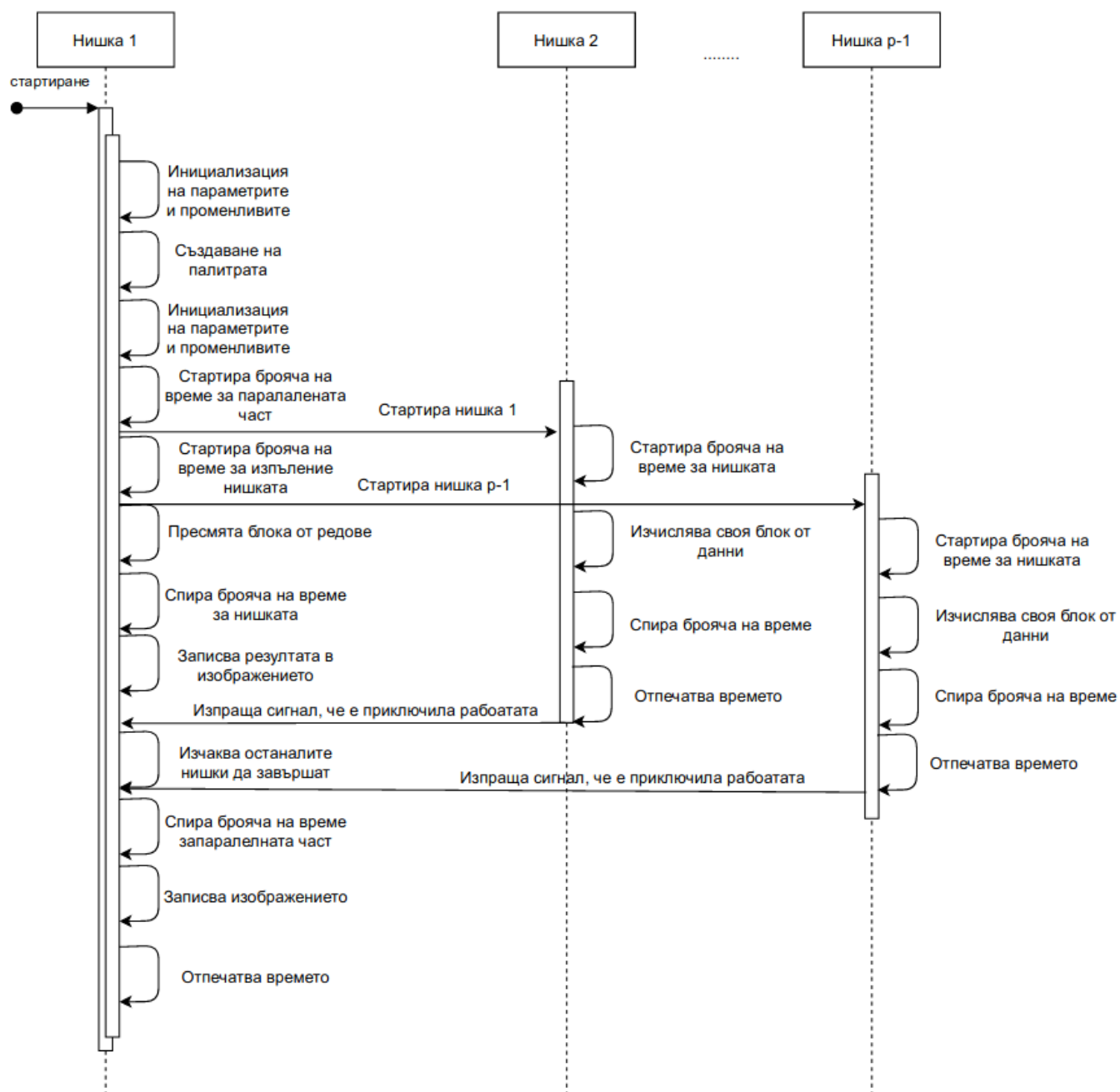
## 2. Проектиране

### 2.1 Функционално проектиране

#### 2.1.1 Модел на статично паралелно решение

Повлиян от представените източници, в текущия проект съм реализирал декомпозиция по редове. Реализиран е моделът “**Single Program Multiple Data**”, при който има една главна нишка, която стартира останалите  $p-1$  нишки, извършва своята работа по създаване на част от изображението, изчаква останалите нишки да приключат и създава крайния резултат. Задачата на останалите  $p-1$  нишки е да пресметнат своите задачи, които се състоят от блокове от редове и да запишат получените резултати. Синхронизация не се налага да бъде имплементирана, тъй като трябва само да декомпозираме данните и различните нишки да обработят различните части от крайното изображение. Всяка нишка с изключение на първата ще извършва една и съща работа, като е важно да се уточни, че нишките работят независимо една от друга и не можем да гарантираме еднаква последователност на изпълнение. Това може да бъде видяно нагледно в следващата глава - “Тестови резултати”.

За да добием по-ясна представа от операциите извършващи се по време на изпълнението на приложението, можем да разгледаме следната диаграма на последователността.



Фиг. 1 - Диаграма на последователността



### 2.1.2 Модел на динамично паралелно решение

В текущия проект е реализирано и динамично централизирано разпределение на задачите, като отново е използвана декомпозиция по редове. За този модел е важно да се спомене наличието на една главна (master) нишка, която създава другите(slave) нишки и създава отделните задачи, като след това ги добавя в опашката от задачи, изчаква опашката да се изпразни и създава крайното изображение. От тук идва и името на модела **“Master-Slave”**. Чрез този подход се улеснява значително балансирането на задачите между нишките и се постига максимално еднакво време за приключването на всяка нишка. Въпреки предоставената функционалност, важно е да кажем и на каква цена ще я получим. Един от проблемите при тази архитектура е постоянното запитване на главната нишка дали работата е свършена. Това може да доведе до намаляване на постигнатото ускорение. Друг проблем е, че имаме нишка която не върши почти никаква натоварваща задача и при нисък паралелизъм е възможно ускорението да бъде много по-ниско сравнено със статичното разпределение на задачите(това може да бъде видяно и в диаграмите на описаните източници в глава **“Анализ”**).

Задачата свързана с изобразяване на множеството на Манделброт не е подходяща за решаване с такъв тип модел, тъй като се обезсмисля динамичното разпределение на задачите. Казано с други думи по-добра ефективност бихме имали, ако дадена задача трябва да се добави към опашката по време на изпълняващи се нишки, а не както в случая - предварително добавяне преди стартиране на работните нишки. Въпреки това, е реализиран такъв тип модел с идеята, той да бъде сравнен със статичното решение и да проверим дали ще се наблюдава намалено ускорение.

### 2.1.3 Ръководство на потребителя

Програмата може да бъде изпълнена посредством bash скрипт:

```
./multimandel <OPTIONS>
```

За по-лесна работа с приложението са добавени незадължителни командни параметри описани в следващата таблица.

Кратък параметър	Дълъг параметър	Стойност по подразбиране	Описание
-s	--size	3840x2160	Размер на изходното изображение
-d	--domain	-2.5:1.5:-1:1	Областта от комплексната равнина, в която множеството ще бъде изобразено. Въвежда се областта по X и Y
-t	--threads	1	Броят нишки, която ще бъдат стартирани
-o	--output	multimandel.png	Името на изходното изображение
-v	--verbose	Да	Отпечатва информация за работата на нишките и тяхното време за изпълнение
-g	--granularity	-	Задава грануларността, с която програмата да работи
-t	--type	static	Оказва начина на разпределение на задачите (static/dynamic)

## 2.2 Технологично проектиране

За тестването на програмата бяха използвани следните две тестови среди, като в следващата глава - “**3 Тестови резултати**” са представени резултатите само от тестова машина “**t5600.rmi.yaht.net**”, поради възможността за по-висок паралелизъм.

### Acer Aspire E1-570g

Архитектура	x86_64
CPU	Intel Core i4-3337U
Cores	2
L1 dcache	64 KiB
L1 icache	64 KiB
L2 cache	512 KiB
L3 cache	3 MiB

Архитектура	x86_64
CPU	Intel Xeon E5-2660
Cores	16
L1 dcache	32 KiB
L1 icache	32 KiB
L2 cache	256 KiB
L3 cache	20 MiB

### 3. Тестови резултати

При всички следващи тестове са използвани следните аргументи на програмата - размер на изходното изображение 3840x2160 и област на комплексната равнина от -2.5 до 1.5 по абцисната ос и от -1 до 1 по ординатната ос. За статичното централизирано решение са направени по два теста - един при 10000 и един при 20000 итерации.

За следващите тестови планове ще въведем следните означения.

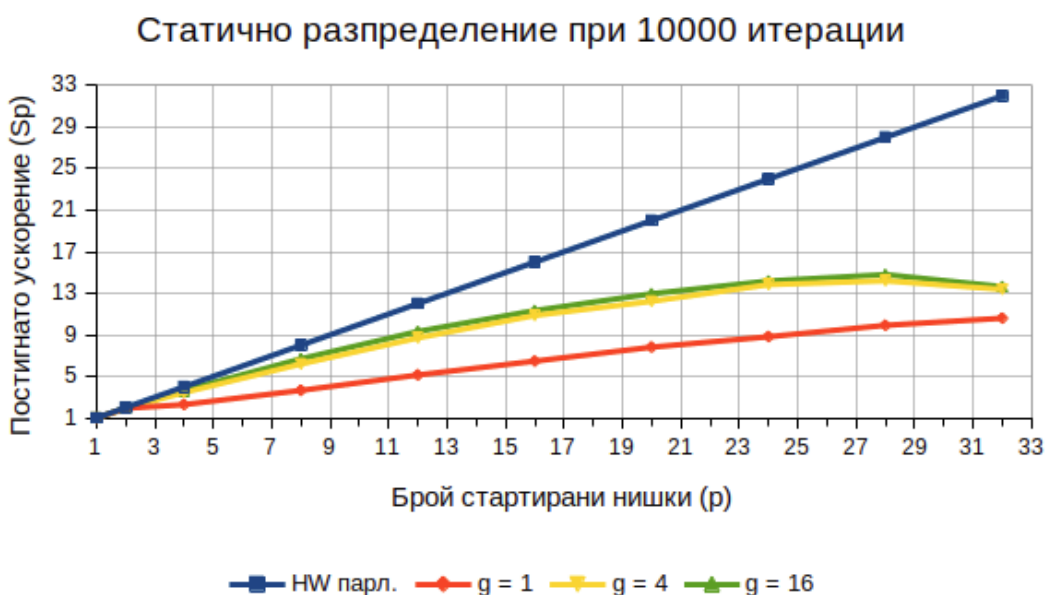
#	Уникален идентификатор на тестовия случай
$p$	Брой стартирани нишки
$g$	Грануларност
$T_p^{(i)}$	Времето за изпълнение на програмата в милисекунди при $i$ -тото стартиране с $p$ брой нишки
$T_p = \min()$	Минималното изпълнение на програмата при $p$ стартирани нишки
$S_p = T_1/T_p$	Постигната ускорение
$E_p = S_p/p$	Ефективност

### 3.1 Сравнение на ускорението при статично циклично разпределение при грануларност $g = 1, 4, 16$

#### 3.1.1 Брой на итерациите - 10000

#	$p$	$g$	$Tp(1)$	$Tp(2)$	$Tp(3)$	$Tp = \min(Tp(i))$	$Sp = T1/Tp$	$Ep = Sp/p$
1	1	1	88292	82753	81643	81643	1	1
2	2	1	42447	42193	42476	42193	1.935	0.968
3	4	1	36053	35703	35661	35661	2.289	0.572
4	8	1	22451	22359	22493	22359	3.651	0.456
5	12	1	16007	16090	15908	15908	5.132	0.428
6	16	1	12675	12917	12632	12632	6.463	0.404
7	20	1	10455	10463	10954	10455	7.809	0.39
8	24	1	9407	9336	9258	9258	8.819	0.367
9	28	1	8382	8335	8234	8234	9.915	0.354
10	32	1	7706	8022	7966	7706	10.595	0.331
11	1	4	82307	82614	81256	81256	1	1
12	2	4	42047	44881	42099	42047	1.933	0.967
13	4	4	23775	23532	23718	23532	3.453	0.863
14	8	4	13308	13106	13177	13106	6.2	0.775
15	12	4	9420	9339	9456	9339	8.701	0.725
16	16	4	7528	7479	7675	7479	10.865	0.679
17	20	4	6864	6758	6647	6647	12.224	0.611
18	24	4	5873	5980	6160	5873	13.836	0.577
19	28	4	5720	5740	5720	5720	14.206	0.507
20	32	4	6072	6252	6248	6072	13.382	0.418
21	1	16	81326	82733	81280	81280	1	1

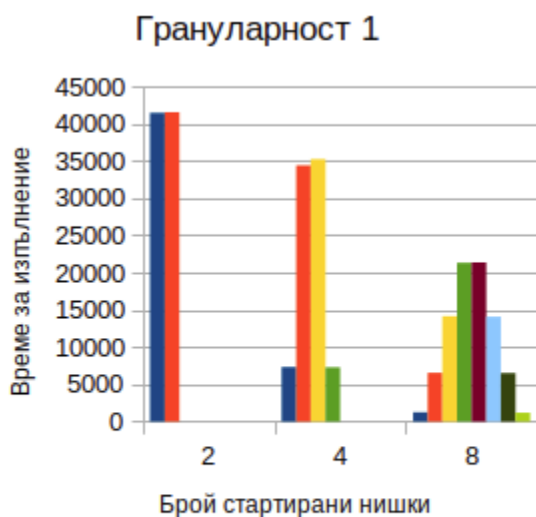
22	2	16	42097	42500	42443	<b>42097</b>	1.931	0.966
23	4	16	22268	22591	22473	<b>22268</b>	3.65	0.913
24	8	16	12138	12226	12207	<b>12138</b>	6.696	0.837
25	12	16	8839	8719	8777	<b>8719</b>	9.322	0.777
26	16	16	7174	7276	7268	<b>7174</b>	11.33	0.708
27	20	16	6336	6276	6285	<b>6276</b>	12.951	0.648
28	24	16	5822	5775	5730	<b>5730</b>	14.185	0.591
29	28	16	5538	5491	5668	<b>5491</b>	14.802	0.529
30	32	16	5959	5995	6105	<b>5959</b>	13.64	0.426



Фиг. 2 - Сравнение на ускорението при статично циклично разпределение с 10000 итерации,  $g = 1, 4, 16$

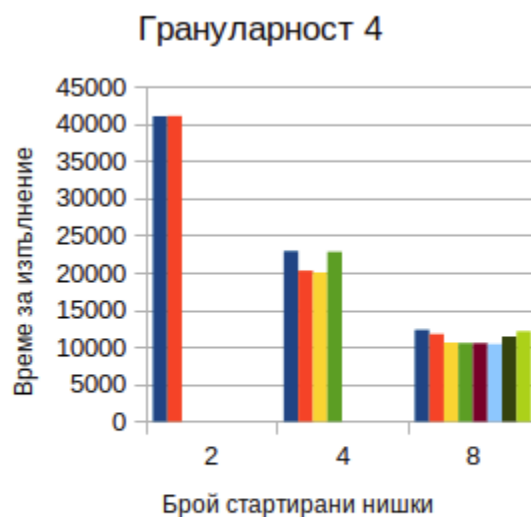
Гледайки графиката, веднага се забелязва, че при грануларност 1 постигнатото ускорение е по-малко сравнено с това получено при 4 и 16. Причината е по-доброто разпределение на работата между нишките. Подзадачите се разделят на по-голям брой, но за сметка на това те са по-малки като последователни редове от изображението и по този начин дадена нишка успява да получи както сложни, така и лесни области за обработка. При средната грануларност ще имаме голямо количество задачи и бихме могли да получим оптималното балансиране.

На следващите фигури можем да видим, че с увеличаването на броя на задачите, които всяка нишка трябва да обработи, се подобрява и балансирането на необходимите изчисления, като по този начин нишките ще приключат своята работа почти по едно и също време. В случая са представени данните при 2, 4 и 8 нишки., тъй като при по-голям брой закономерността се запазва и няма смисъл да претрупваме диаграмите.



■ Нишка 1 ■ Нишка 2 ■ Нишка 3 ■ Нишка 4  
 ■ Нишка 5 ■ Нишка 6 ■ Нишка 7 ■ Нишка 8

Фиг. 3 - Време за изпълнение на нишките при  $g = 1$



■ Нишка 1 ■ Нишка 2 ■ Нишка 3 ■ Нишка 4  
 ■ Нишка 5 ■ Нишка 6 ■ Нишка 7 ■ Нишка 8

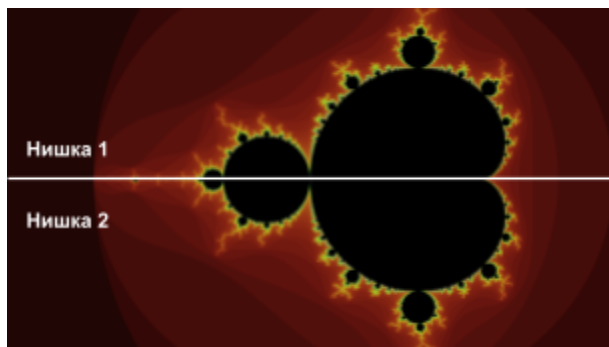
Фиг. 4 - Време за изпълнение на нишките при  $g = 4$



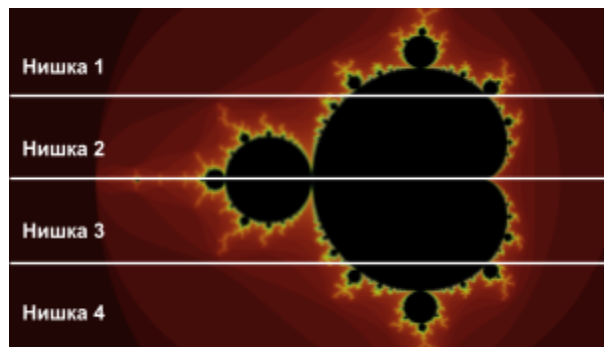
■ Нишка 1 ■ Нишка 2 ■ Нишка 3 ■ Нишка 4  
 ■ Нишка 5 ■ Нишка 6 ■ Нишка 7 ■ Нишка 8

Фиг. 5 - Време за изпълнение на нишките при  $g = 16$

Във всеки един от случаите се забелязва, че при 2 нишки се постига балансирано разпределение на работата, тъй като изображението е разделено на две еднакви части. В първия случай при стартирането на 4 нишки и  $g = 1$  се забелязва, че няма осезаемо ускорение спрямо стартирането на 2 нишки, а причината за това се крие в начина, по който е разделена работата между нишките. Следващите две фигури ще покажат условното разделяне на изображението между 2 и 4 нишки при грануларност 1.



Фиг. 6 - Разделяне между две нишки при  $g = 1$



Фиг. 7 - Разделяне между четири нишки при  $g = 1$

Както се вижда от по-горните илюстрации когато работата по обработката на изображението е разделена между две нишки, всяка от тях получава една и съща област, но огледална спрямо реалната ос. Това е причината за еднаквите времена на работа на нишките представени на *фиг. 3*. На съседната *фиг. 7* обаче, при наличието на 4 обработващи нишки, работата на първата ще е същата с работата на четвъртата, а втората ще обработва същата облааост като третата. Знаем, че черната област е скъпа за обработка и на практика нишки "2" и "3" получават почти същата област за работа както на *фиг. 6*, което се оказва причината за отсъствието на по-сериозно ускорение, предвид факта, че имаме двойно повече работещи нишки.

### 3.1.2 Брой на итерациите - 20000

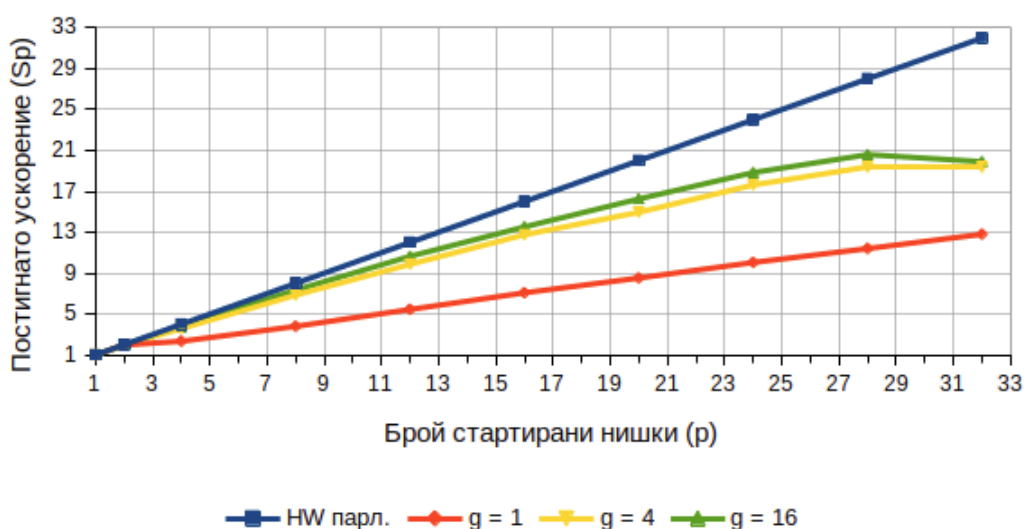
Същия тест беше проведен и при двойно по-голям брой итерации с цел по-голямо натоварване. По-долу ще бъде представена само таблицата с тестовете и диаграмата на ускорението, тъй като останалите анализи са аналогични.

#	$p$	$g$	$Tp(1)$	$Tp(2)$	$Tp(3)$	$Tp=\min(Tp(i))$	$Sp = T1/Tp$	$Ep = Sp/p$
1	1	1	<b>160866</b>	<b>162671</b>	<b>161057</b>	<b>160866</b>	1	1
2	2	1	82188	81511	81933	<b>81511</b>	1.974	0.987
3	4	1	69168	69205	68786	<b>68786</b>	2.339	0.585
4	8	1	42550	42629	42420	<b>42420</b>	3.792	0.474
5	12	1	29890	29773	29520	<b>29520</b>	5.449	0.454
6	16	1	22733	23041	22989	<b>22733</b>	7.076	0.442
7	20	1	18965	18933	18879	<b>18879</b>	8.521	0.426
8	24	1	16024	16298	16259	<b>16024</b>	10.039	0.418
9	28	1	14108	14133	14313	<b>14108</b>	11.402	0.407
10	32	1	12595	12666	12567	<b>12567</b>	12.801	0.4
11	1	4	<b>161513</b>	<b>162452</b>	<b>162396</b>	<b>161513</b>	1	1
12	2	4	82874	82442	82306	<b>82306</b>	1.962	0.981
13	4	4	45500	45104	45508	<b>45104</b>	3.581	0.895
14	8	4	23552	23560	23828	<b>23552</b>	6.858	0.857
15	12	4	16368	16505	16478	<b>16368</b>	9.868	0.822
16	16	4	12741	12827	12668	<b>12668</b>	12.75	0.797
17	20	4	10889	10885	10799	<b>10799</b>	14.956	0.748
18	24	4	9163	9253	9411	<b>9163</b>	17.627	0.734
19	28	4	8336	8334	8455	<b>8334</b>	19.38	0.692
20	32	4	8454	8347	8595	<b>8347</b>	19.35	0.605
21	1	16	<b>162580</b>	<b>162840</b>	<b>161302</b>	<b>161302</b>	1	1
22	2	16	82381	81972	82612	<b>81972</b>	1.968	0.984
23	4	16	42317	42403	42781	<b>42317</b>	3.812	0.953



24	8	16	21958	22168	22206	<b>21958</b>	7.346	0.918
25	12	16	15305	15222	15155	<b>15155</b>	10.643	0.887
26	16	16	11924	12011	12029	<b>11924</b>	13.528	0.846
27	20	16	10064	10046	9918	<b>9918</b>	16.264	0.813
28	24	16	8562	8628	8640	<b>8562</b>	18.839	0.785
29	28	16	7900	7883	7833	<b>7833</b>	20.593	0.735
30	32	16	8442	8304	8104	<b>8104</b>	19.904	0.622

Статично разпределение при 20000 итерации

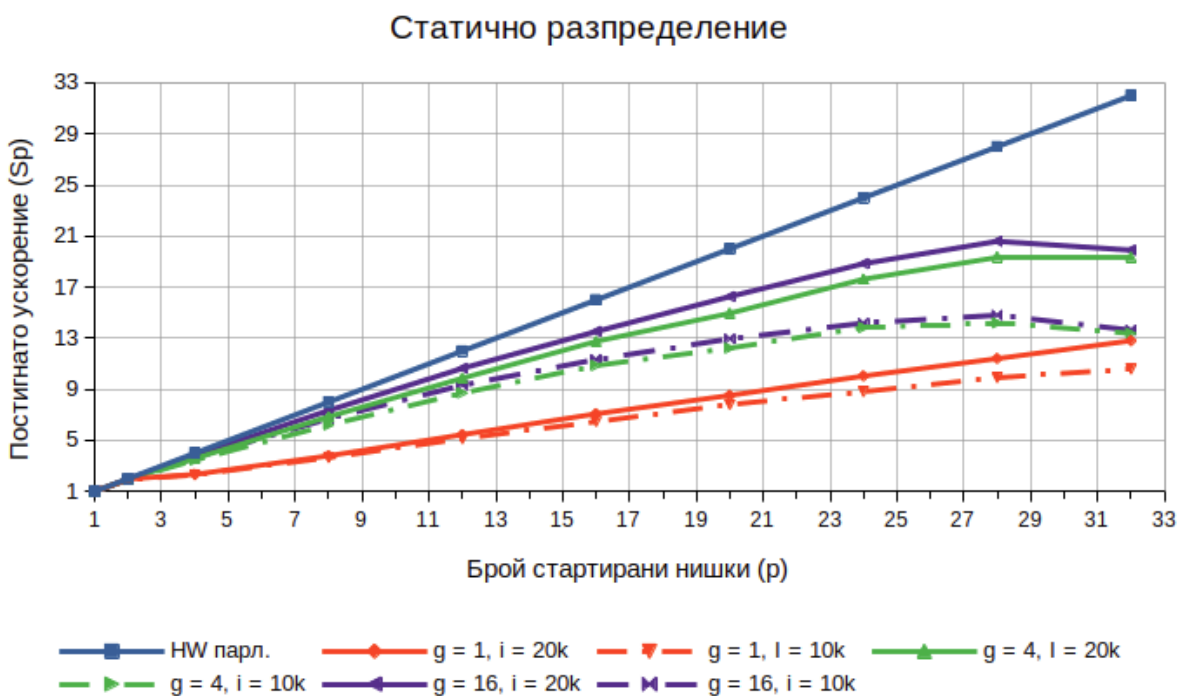


Фиг. 8 - Сравнение на ускорението при статично циклично разпределение с 20000 итерации,  $g = 1, 4, 16$

Създавайки по-голям товар, чрез увеличаването на броя итерации, от представените резултати ясно се вижда и по-голямото ускорение, което е постигнато, като още повече се доближаваме до идеалното. Възможна причина може да се крие в по-рядкото презаписване на стойностите в Level 1d кеша или пък в хипертрединга. Ако данните са прекалено малко или са прекалено лесни за обработка, това също би могло да се разглежда като причина за това ускорение, тъй като по-често ще се правят излишни инструкции.

### 3.1.3 Съпоставка на получените резултати

Постигнатите резултати показват по-добро ускорение при грануларност 4 и 16, като разликата между двете е почти минимална. Също така се наблюдава, че върховата точка на това ускорение е било винаги при използването на 28 нишки, с изключение при опитите с грануларност 1, където е било при 32 нишки. Като крайно заключение бихме могли да обобщим следното, независимо от броя итерации, и в двата случая получаваме най-добро ускорение при грануларност 16 с използването на 28 нишки. Това от своя страна означава, че най-оптималното разделяне е на блокове от 7-8 реда.



Фиг. 9 - Сравнение на ускорението при 10000 и 20000 итерации

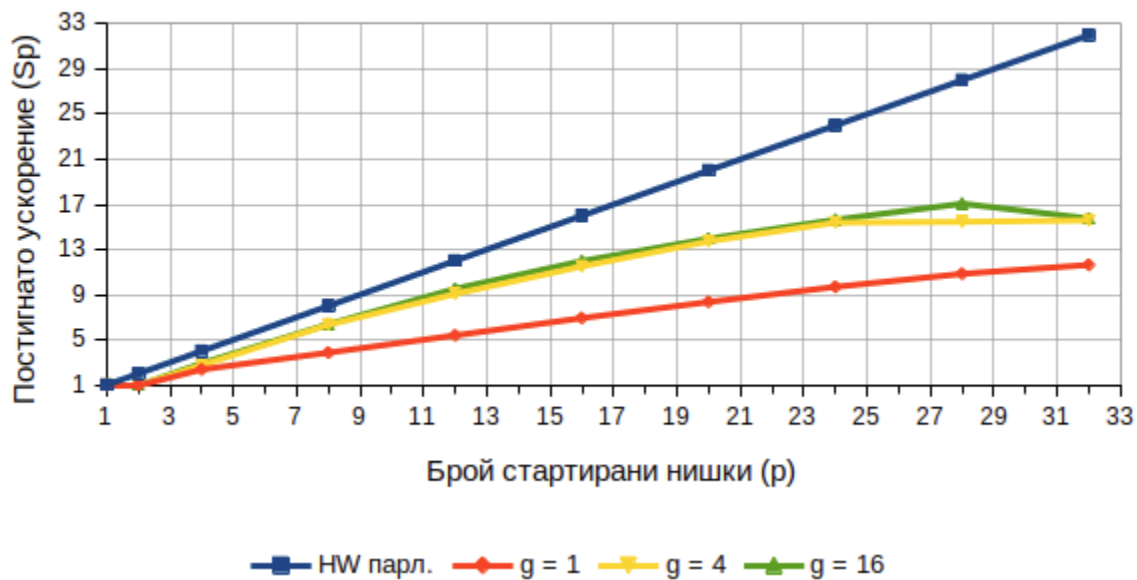
### 3.2 Сравняване на ускорението при динамично централизирано разпределение при грануларност $g = 1, 4, 16$

В текущата глава са представени резултати от тестването на програмата, използваща динамично централизирано разпределение на задачите. Този път ще се проведат тестове само при 10000 итерации и накрая резултата ще бъде сравнен с този от статично цикличното решение.

#	$p$	$g$	$Tp(1)$	$Tp(2)$	$Tp(3)$	$Tp = \min(Tp(i))$	$Sp = T1/Tp$	$Ep = Sp/p$
1	1	1	88292	82753	81643	81643	1	1
2	2	1	81295	81030	80695	80695	1.012	0.506
3	4	1	34554	34423	35596	34423	2.372	0.593
4	8	1	21282	21146	21180	21146	3.861	0.483
5	12	1	15359	15166	15152	15152	5.388	0.449
6	16	1	11826	11794	11866	11794	6.922	0.433
7	20	1	9945	10119	9783	9783	8.345	0.417
8	24	1	8427	8696	8547	8427	9.688	0.404
9	28	1	7791	7845	7527	7527	10.847	0.387
10	32	1	7018	7017	7263	7017	11.635	0.364
11	1	4	82307	82614	81256	81256	1	1
12	2	4	81293	80295	79757	79757	1.019	0.51
13	4	4	29954	29472	29695	29472	2.757	0.689
14	8	4	13242	13242	12838	12838	6.329	0.791
15	12	4	9031	9070	8964	8964	9.065	0.755
16	16	4	7152	7071	7060	7060	11.509	0.719
17	20	4	6229	6055	5918	5918	13.73	0.687

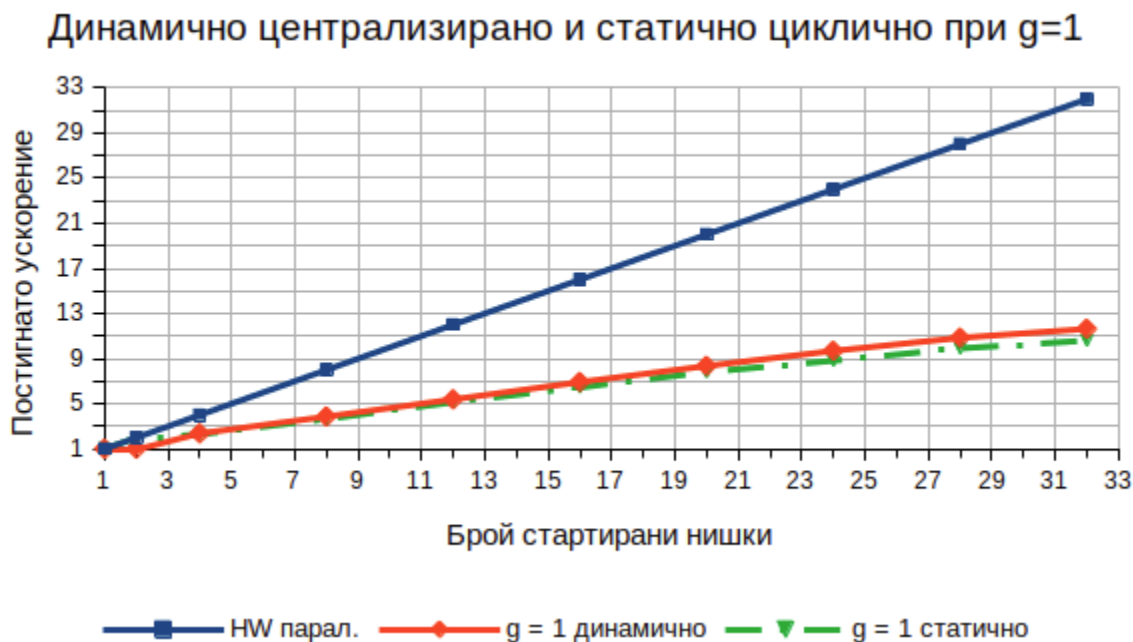
18	24	4	6165	5280	5389	<b>5280</b>	15.389	0.641
19	28	4	5258	5272	5293	<b>5258</b>	15.454	0.552
20	32	4	5325	5212	5212	<b>5212</b>	15.59	0.487
21	1	16	<b>81326</b>	<b>82733</b>	<b>81280</b>	<b>81280</b>	1	1
22	2	16	81173	80681	80112	<b>80112</b>	1.015	0.508
23	4	16	28143	27816	28145	<b>27816</b>	2.922	0.731
24	8	16	12748	12854	12788	<b>12748</b>	6.376	0.797
25	12	16	8541	8664	8742	<b>8541</b>	9.516	0.793
26	16	16	6794	6949	6786	<b>6786</b>	11.978	0.749
27	20	16	5890	5822	5836	<b>5822</b>	13.961	0.698
28	24	16	5196	5220	5224	<b>5196</b>	15.643	0.652
29	28	16	4764	4893	4925	<b>4764</b>	17.061	0.609
30	32	16	5161	5273	5242	<b>5161</b>	15.749	0.492

### Динамично централизирано при 10000 итерации



Фиг. 10 - Ускорение при динамично централизирано решение с 10000 итерации

За изчисление на ускорението съм използвал времето при изпълнението на статичното решение с 1 нишка. Ясно се вижда, че при малък брой нишки ускорение не се наблюдава, тъй като имаме една главна нишка, която само разпределя задачите и чака свършването на “slave” нишките. От предишната фигура се забелязва отново, че при грануларност 1 ускорението е най малко, докато при 4 и 16 е почти еднакво. Все пак за по-точни стойности можем да погледнем в таблицата.

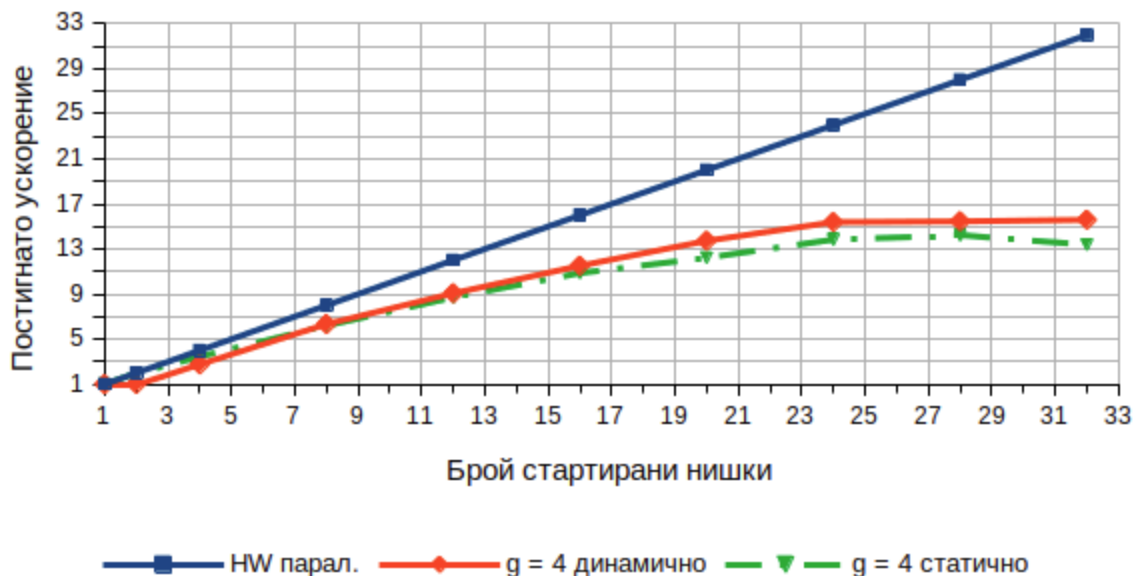


Фиг. 11 Съпоставка между статично и динамично при  $g = 1$

На фиг. 11 можем да видим разликата между динамично централизирано и статично циклично разпределение при грануларност 1. При по-слаб паралелизъм динамичното изостава спрямо другото разпределение, но с увеличаването на броя нишки дори го задминава по ускорение. Все пак сега разглеждаме случая с грануларност 1, което означава, че всяка нишка ще получи точно по една задача, което обезсмисля работата на главната разпределяща нишка.

На диаграмата по-долу може да се разгледа същата съпоставка, но при грануларност 4. Общо взето тенденцията е същата, както в предишния случай с тази разлика, че вече имаме по-голям брой задачи, които да се обработят от нишките.

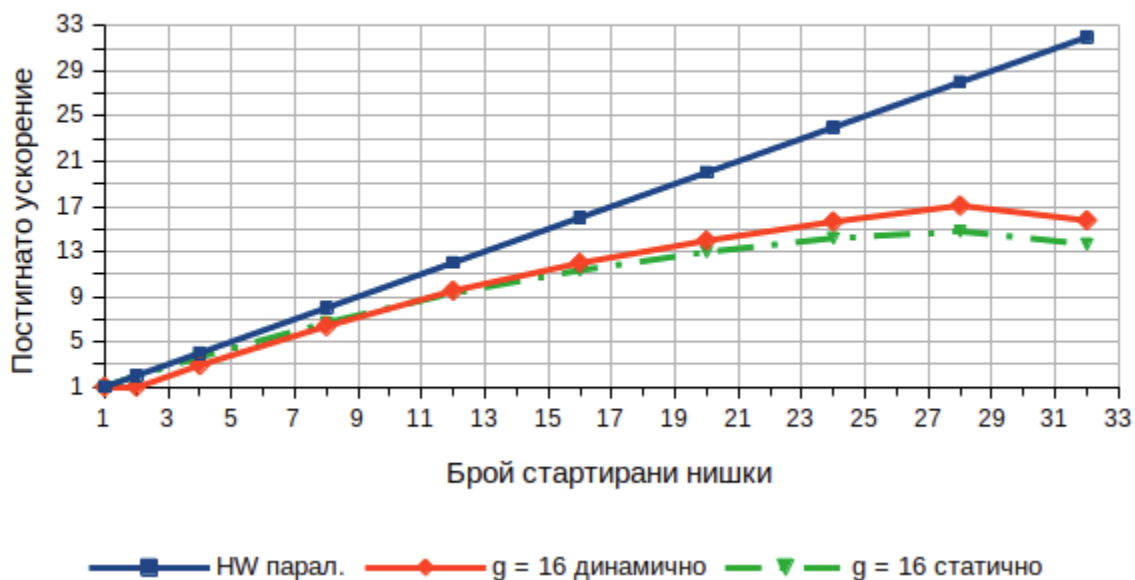
### Динамично централизирано и статично циклично при $g=4$



Фиг. 12 Съпоставка между статично и динамично при  $g = 4$

По-долу при средната грануларност броя задачи се увеличава значително, което оправдава наличието на “master” нишка, грижеща се за разпределението на задачите. Отново най-голям паралелизъм се получава при 28 нишки, както беше при статичното решение.

### Динамично централизирано и статично циклично при $g=16$

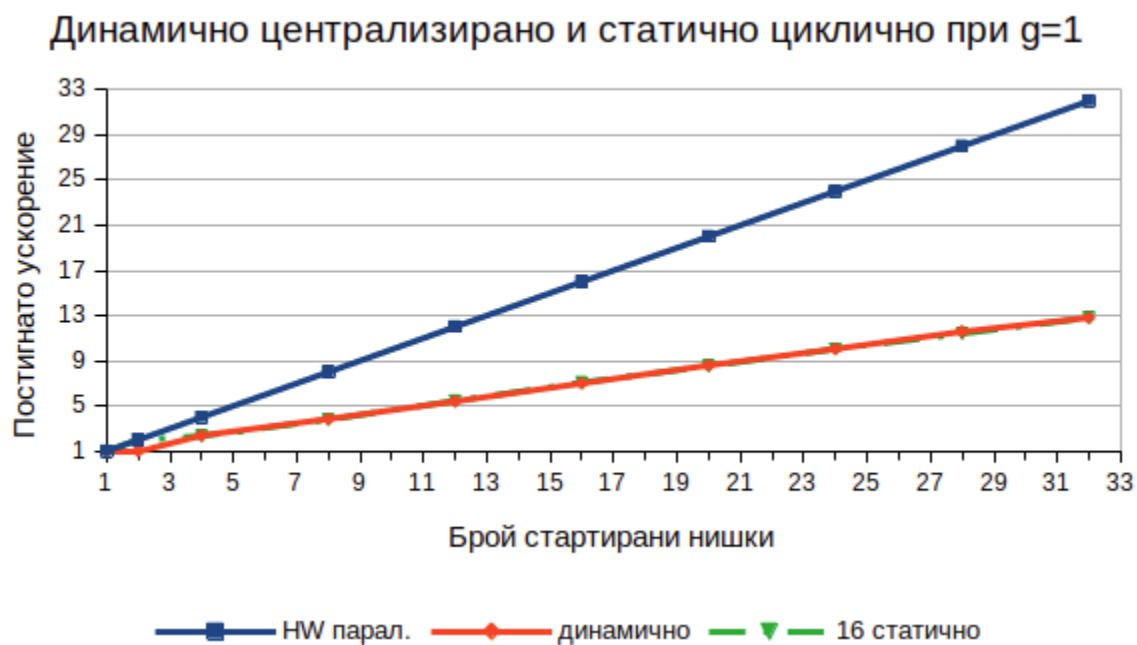


Фиг. 13 Съпоставка между статично и динамично при  $g = 16$

При използването на динамичния подход при **20000 итерации** картината не е по-различна.

#	$p$	$g$	$Tp(1)$	$Tp(2)$	$Tp(3)$	$Tp = \min(Tp(i))$	$Sp = T1/Tp$	$Ep = Sp/p$
1	1	1	<b>160866</b>	<b>162671</b>	<b>161057</b>	<b>160866</b>	1	1
2	2	1	160811	158750	160481	<b>158750</b>	1.013	0.507
3	4	1	68193	73922	67460	<b>67460</b>	2.385	0.596
4	8	1	42225	41884	42292	<b>41884</b>	3.841	0.48
5	12	1	29843	29748	29777	<b>29748</b>	5.408	0.451
6	16	1	23117	22999	23354	<b>22999</b>	6.994	0.437
7	20	1	18882	18714	18794	<b>18714</b>	8.596	0.43
8	24	1	16048	16074	16017	<b>16017</b>	10.043	0.418
9	28	1	14232	13897	14052	<b>13897</b>	11.576	0.413
10	32	1	12567	12616	12762	<b>12567</b>	12.801	0.4
11	1	4	<b>161513</b>	<b>162452</b>	<b>162396</b>	<b>161513</b>	1	1
12	2	4	159783	160274	160111	<b>159783</b>	1.011	0.506
13	4	4	58424	58447	58688	<b>58424</b>	2.764	0.691
14	8	4	25084	25559	25630	<b>25084</b>	6.439	0.805
15	12	4	17077	16990	17002	<b>16990</b>	9.506	0.792
16	16	4	12960	12968	12887	<b>12887</b>	12.533	0.783
17	20	4	10969	10596	11066	<b>10596</b>	15.243	0.762
18	24	4	9547	9211	9361	<b>9211</b>	17.535	0.731
19	28	4	8330	8339	8343	<b>8330</b>	19.389	0.692

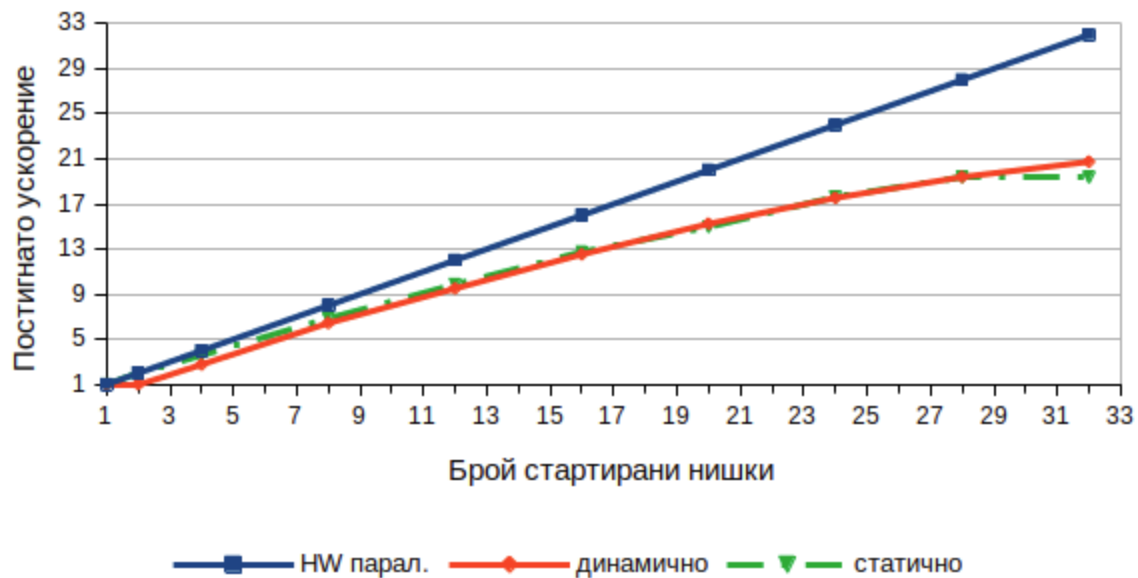
20	32	4	7788	8027	8248	<b>7788</b>	20.739	0.648
21	1	16	<b>162580</b>	<b>162840</b>	<b>161302</b>	<b>161302</b>	1	1
22	2	16	159591	160035	159449	<b>159449</b>	1.012	0.506
23	4	16	55260	55209	54832	<b>54832</b>	2.942	0.736
24	8	16	24742	25027	24774	<b>24742</b>	6.519	0.815
25	12	16	16391	16424	16367	<b>16367</b>	9.855	0.821
26	16	16	12542	12531	12448	<b>12448</b>	12.958	0.81
27	20	16	10335	10318	10270	<b>10270</b>	15.706	0.785
28	24	16	8989	8841	8640	<b>8640</b>	18.669	0.778
29	28	16	7977	7951	8057	<b>7951</b>	20.287	0.725
30	32	16	8138	8125	7813	<b>7813</b>	20.645	0.645



Фиг. 14 Съпоставка между статично и динамично при  $g = 1$

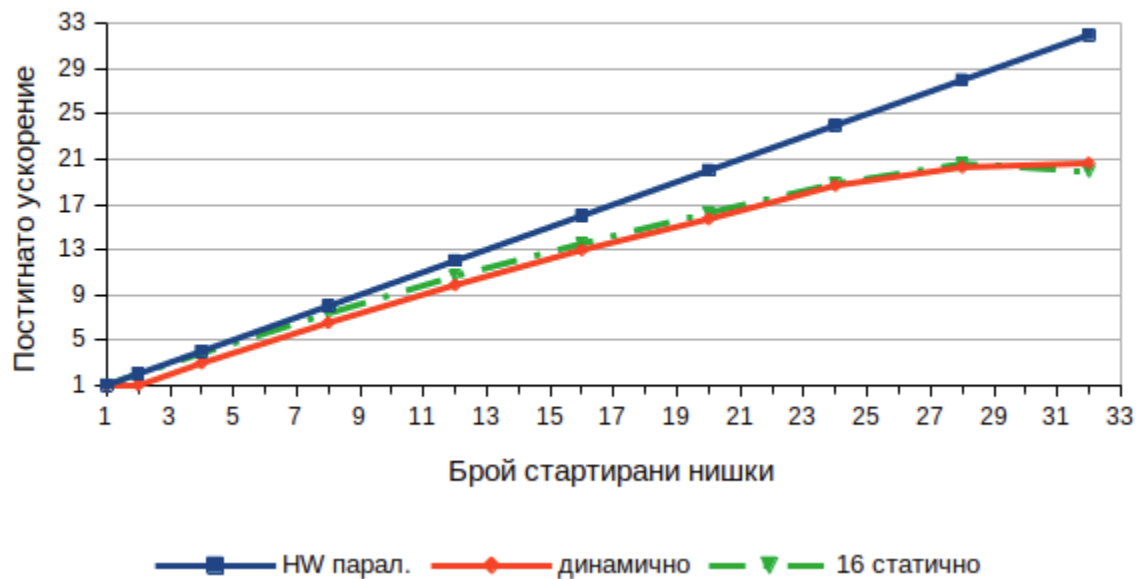


### Динамично централизирано и статично циклично при $g=4$



Фиг. 15 Съпоставка между статично и динамично при  $g = 4$

### Динамично централизирано и статично циклично при $g=16$



Фиг. 16 Съпоставка между статично и динамично при  $g = 16$

Можем да направим заключението, че макар и неподходящо за конкретната задача, динамичното разпределение не ограничава по никакъв начин ускорението, а дори напротив - има леко подобрене. В "глава 3.1" стигнахме до извода, че най-високо ускорение се получава при 28 нишки с грануларност 16. При статичното разпределение то беше около 14.802(при 10000 итерации), докато при динамичното разпределение получихме 17.061, отново при 28 нишки за 10000 итерации. Забелязва се обаче, че благодарение на динамичното разпределение по редове успяхме да увеличим ускорението до 20.739 използвайки 32 нишки и грануларност 4. В заключение можем да кажем, че при грануларност 4 и 16 при всички тестове получаваме сходни резултати, но обработвайки блокове от изображението по 7-8 реда, получаваме най-задоволителни резултати.

## Източници

- [1] Mirco Tracoli, Parallel generation of a Mandelbrot set, Department of Mathematics and Computer Sciences, University of Perugia, April 2016, <http://services.chm.unipg.it/ojs/index.php/virtlcomm/article/view/112>
- [2] Ernesto Soto Gómez, MPI vs OpenMP: A case study on parallel generation of Mandelbrot set, Universidad de las Ciencias Informáticas, September 2020, [https://www.researchgate.net/publication/344453347\\_MPI\\_vs\\_OpenMP\\_A\\_case\\_study\\_on\\_parallel\\_generation\\_of\\_Mandelbrot\\_set](https://www.researchgate.net/publication/344453347_MPI_vs_OpenMP_A_case_study_on_parallel_generation_of_Mandelbrot_set)
- [3] Matthias Book, Parallel Fractal Image Generation - A Study of Generating Sequential Data With Parallel Algorithms, The University of Montana, Missoula, <http://matthiasbook.de/papers/parallelfractals/>
- [4] Bhanuka Manesha Samarasekara Vitharana Gamage, Vishnu Monn Baskaran, Efficient Generation of Mandelbrot Set using Message Passing Interface, Monash University Malaysia <https://arxiv.org/pdf/2007.00745.pdf>